

## Capítulo V

# **INTEGRAIS DE SUPERFÍCIE**

## Capítulo V

Vamos falar sobre integrais sobre superfícies no espaço tri-dimensional. Estes integrais ocorrem em problemas envolvendo fluídos e calor, electricidade, magnetismo, massa, e centro de gravidade.

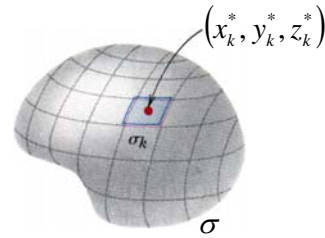
Definição – Se  $C$  é uma curva simples no espaço tri-dimensional, e  $f(x, y, z)$  é contínua em  $C$ , então o integral de linha de  $f$  sobre  $C$  em relação ao comprimento de arco é definido subdividindo  $C$  em  $n$  arcos e definindo o integral de linha como o

limite:  $\int_C f(x, y, z) dS = \lim_{n \rightarrow +\infty} \sum_{k=1}^n f(x_k^*, y_k^*, z_k^*) \Delta S_k$  onde  $(x_k^*, y_k^*, z_k^*)$  é um ponto no arco de

ordem  $k$  e  $\Delta S_k$  é o comprimento do arco de ordem  $k$ .

Esta é uma definição de integral de linha que nos vai permitir definir integral de superfície de modo análogo:

Seja  $\sigma$  uma superfície no espaço com área superficial finita, e seja  $f(x, y, z)$  uma função contínua definida em



$\sigma$ . Como se pode ver na figura, subdivida-se  $\sigma$  nas partes  $\sigma_1, \sigma_2, \dots, \sigma_n$  com áreas

$\Delta S_1, \Delta S_2, \dots, \Delta S_n$ , e forme-se a soma  $\sum_{k=1}^n f(x_k^*, y_k^*, z_k^*) \Delta S_k$  onde  $(x_k^*, y_k^*, z_k^*)$  é um ponto

arbitrário em  $\sigma_k$ . Se repetirmos o processo de subdivisão, dividindo  $\sigma$  em mais e mais partes de tal modo que a dimensão máxima de cada parte se aproxime de zero

quando  $n \rightarrow +\infty$ , verifica-se que se  $\lim_{n \rightarrow +\infty} \sum_{k=1}^n f(x_k^*, y_k^*, z_k^*) \Delta S_k$  se aproxima de um limite

que não depende do modo como as subdivisões são feitas ou como os pontos  $(x_k^*, y_k^*, z_k^*)$  são escolhidos, então este limite é chamado o *integral de superfície* de

$f(x, y, z)$  sobre  $\sigma$  e é notado por  $\int_C f(x, y, z) dS = \lim_{n \rightarrow +\infty} \sum_{k=1}^n f(x_k^*, y_k^*, z_k^*) \Delta S_k$ .

### Cálculo dos Integrais de Superfície.

Existem vários processos de cálculo dos integrais de superfície, dependendo de como

a superfície  $\sigma$  é representada. O Teorema seguinte indica como calcular um integral de superfície quando  $\sigma$  é da forma  $z = g(x, y)$ , ou da forma  $y = g(x, z)$  ou  $x = g(y, z)$ .

**Teorema** – (a) Seja  $\sigma$  uma superfície com a equação  $z = g(x, y)$  e seja  $R$  a sua projecção no plano  $xy$ . Se  $g$  tiver primeiras derivadas parciais contínuas em  $R$  e

$$f(x, y, z) \text{ for cont nua em } \sigma, \text{ ent o teremos que } \iint_{\sigma} f(x, y, z) dS = \\ = \iint_R f[x, y, g(x, y)] \sqrt{\left(\frac{\partial z}{\partial x}\right)^2 + \left(\frac{\partial z}{\partial y}\right)^2 + 1} dA.$$

(b) Seja  $\sigma$  uma superfície com a equação  $y = g(x, z)$  e seja  $R$  a sua projecção no plano  $xy$ . Se  $g$  tiver primeiras derivadas parciais contínuas em  $R$  e

$$f(x, y, z) \text{ for cont nua em } \sigma, \text{ ent o teremos que } \iint_{\sigma} f(x, y, z) dS = \\ = \iint_R f[x, g(x, z), z] \sqrt{\left(\frac{\partial y}{\partial x}\right)^2 + \left(\frac{\partial y}{\partial z}\right)^2 + 1} dA.$$

(c) Seja  $\sigma$  uma superfície com a equação  $x = g(y, z)$  e seja  $R$  a sua projecção no plano  $xy$ . Se  $g$  tiver primeiras derivadas parciais contínuas em  $R$  e

$$f(x, y, z) \text{ for cont nua em } \sigma, \text{ ent o teremos que } \iint_{\sigma} f(x, y, z) dS = \\ = \iint_R f[g(y, z), y, z] \sqrt{\left(\frac{\partial x}{\partial y}\right)^2 + \left(\frac{\partial x}{\partial z}\right)^2 + 1} dA.$$

Para ilustrar como as f rmulas apresentadas neste Teorema podem ser obtidas, considere-se o caso onde  $\sigma$    representado por uma equa o da forma  $z = g(x, y)$

sobre uma regi o  $R$  do plano  $xy$ . Neste caso, pode escrever-se  $\iint_{\sigma} f(x, y, z) dS =$

$$= \lim_{n \rightarrow +\infty} \sum_{k=1}^n f(x_k^*, y_k^*, z_k^*) \sqrt{g_x(x_k^*, y_k^*)^2 + g_y(x_k^*, y_k^*)^2 + 1} \Delta A_k = \lim_{n \rightarrow +\infty} \sum_{k=1}^n f(x_k^*, y_k^*, g(x_k^*, y_k^*)) \times$$

$\times \sqrt{g_x(x_k^*, y_k^*)^2 + g_y(x_k^*, y_k^*)^2 + 1} \Delta A_k$ . Como o limite nesta equa o   um integral duplo

sobre a regi o  $R$ , pode reescrever-se a equa o como  $\iint_{\sigma} f(x, y, z) dS =$

$$= \iint_R f(x, y, g(x, y)) \sqrt{g_x(x, y)^2 + g_y(x, y)^2 + 1} dA, \text{ ou equivalentemente } \iint_\sigma f(x, y, z) dS =$$

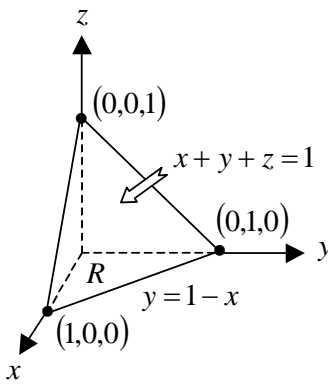
$$= \iint_R f(x, y, g(x, y)) \sqrt{\left(\frac{\partial z}{\partial x}\right)^2 + \left(\frac{\partial z}{\partial y}\right)^2 + 1} dA.$$

**Exemplo** – Calcule o integral de superfície  $\iint_\sigma xz dS$  onde  $\sigma$  é a parte do plano  $x + y + z = 1$  que fica no primeiro octante.

A equação do plano pode ser escrita como  $z = 1 - x - y$  que é da forma  $z = g(x, y)$ . Consequentemente, podemos aplicar a fórmula  $\iint_\sigma f(x, y, z) dS =$

$$= \iint_R f(x, y, g(x, y)) \sqrt{\left(\frac{\partial z}{\partial x}\right)^2 + \left(\frac{\partial z}{\partial y}\right)^2 + 1} dA \quad \text{com } z =$$

$$= g(x, y) = 1 - x - y \text{ e } f(x, y, z) = xz. \text{ Assim, } \frac{\partial z}{\partial x} = -1 \text{ e } \frac{\partial z}{\partial y} = -1,$$



$$\frac{\partial z}{\partial y} = -1, \quad \text{portanto} \quad \iint_\sigma f(x, y, z) dS \quad \text{torna-se} \quad \iint_\sigma xz dS = \iint_R x(1 - x - y) \times$$

$\times \sqrt{(-1)^2 + (-1)^2 + 1} dA$  onde  $R$  é a projeção de  $\sigma$  no plano  $xy$ . Reescrevendo o

$$\text{integral duplo como um integral iterativo vem } \iint_\sigma xz dS = \sqrt{3} \int_0^1 \int_0^{1-x} (x - x^2 - xy) dy dx =$$

$$= \sqrt{3} \int_0^1 \left[ xy - x^2 y - \frac{xy^2}{2} \right]_{y=0}^{1-x} dx = \sqrt{3} \int_0^1 \left( \frac{x}{2} - x^2 + \frac{x^3}{2} \right) dx = \sqrt{3} \left[ \frac{x^2}{4} - \frac{x^3}{3} + \frac{x^4}{8} \right]_0^1 = \frac{\sqrt{3}}{24}.$$

### Área de Uma Superfície Como Integral de Superfície.

No caso especial em que  $f(x, y, z)$  é 1, a fórmula  $\int_C f(x, y, z) dS =$

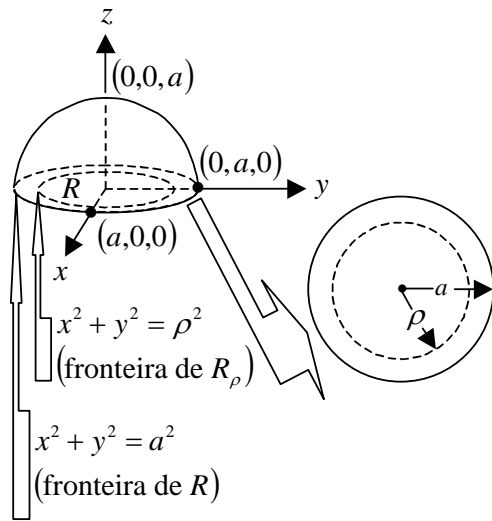
$$= \lim_{n \rightarrow +\infty} \sum_{k=1}^n f(x_k^*, y_k^*, z_k^*) \Delta S_k \text{ torna-se } \iint_\sigma dS = \lim_{n \rightarrow +\infty} \sum_{k=1}^n \Delta S_k. \text{ Mas para todos os valores de}$$

$n$ , o somatório é a área superficial da superfície  $\sigma$ ; e portanto, também o limite o é.

Deste modo, a área superficial da superfície  $\sigma$  pode ser expressa por  $S = \iint_{\sigma} dS$ .

**Exemplo** – Use a fórmula  $\iint_{\sigma} f(x, y, z) dS = \iint_R f[x, y, g(x, y)] \sqrt{\left(\frac{\partial z}{\partial x}\right)^2 + \left(\frac{\partial z}{\partial y}\right)^2 + 1} dA$

para mostrar que a área superficial do hemisfério superior de raio  $a$  dado pela equação  $z = \sqrt{a^2 - x^2 - y^2}$  é  $2\pi a^2$ .



Como se vê na figura, a projecção do hemisfério no plano  $xy$  é a região circular  $R$  de raio  $a$  centrado na origem. No entanto, não podemos aplicar o Teorema directamente porque as derivadas parciais

$$\frac{\partial z}{\partial x} = \frac{-x}{\sqrt{a^2 - x^2 - y^2}} \text{ e } \frac{\partial z}{\partial y} = \frac{-y}{\sqrt{a^2 - x^2 - y^2}}$$

não existem na fronteira da região  $R$  uma vez que  $x^2 + y^2 = a^2$  aí. De forma a ultrapassar este problema calcula-se o

integral duplo sobre uma região circular ligeiramente mais pequena  $R_{\rho}$  de raio  $\rho$ , e

$$\text{deixe-se } \rho \text{ aproximar de } a. \text{ Temos então } \iint_{\sigma} dS = \lim_{\rho \rightarrow a^-} \iint_{R_{\rho}} \sqrt{\left(\frac{\partial z}{\partial x}\right)^2 + \left(\frac{\partial z}{\partial y}\right)^2 + 1} dA =$$

$$= \lim_{\rho \rightarrow a^-} \iint_{R_{\rho}} \sqrt{\frac{x^2}{a^2 - x^2 - y^2} + \frac{y^2}{a^2 - x^2 - y^2} + 1} dA = \lim_{\rho \rightarrow a^-} \iint_{R_{\rho}} \frac{a}{\sqrt{a^2 - x^2 - y^2}} dA \text{ e assim } \iint_{\sigma} dS =$$

$$= \lim_{\rho \rightarrow a^-} \int_0^{2\pi} \int_0^{\rho} \frac{a}{\sqrt{a^2 - r^2}} r dr d\theta = \lim_{\rho \rightarrow a^-} \int_0^{2\pi} \left[ -a\sqrt{a^2 - r^2} \right]_0^{\rho} d\theta = \lim_{\rho \rightarrow a^-} \int_0^{2\pi} \left( a^2 - a\sqrt{a^2 - \rho^2} \right) d\theta, \text{ isto}$$

$$\text{é, } \iint_{\sigma} dS = \lim_{\rho \rightarrow a^-} 2\pi \left( a^2 - a\sqrt{a^2 - \rho^2} \right) = 2\pi a^2.$$

### Massa de Uma Lâmina Curva Como Integral de Superfície.

Define-se uma *lâmina curva* como um objecto idealizado no espaço tri-dimensional

que é suficientemente fino para poder ser olhado como uma superfície. Uma lâmina curva pode parecer-se com um prato arqueado:

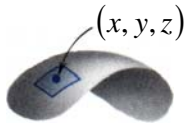


, ou pode encerrar uma região do espaço tri-dimensional, como a casca de um ovo. Se a composição de uma lâmina curva é uniforme, então a sua densidade é definida como sendo a massa total dividida pela sua área superficial total. No entanto, se a lâmina não é homogénea, então a densidade varia de ponto para ponto, e neste caso a densidade de uma lâmina curva  $\sigma$  é descrita por uma função de densidade  $\delta(x, y, z)$ , cujo valor no ponto  $(x, y, z)$  é:  $\delta(x, y, z) = \lim_{\Delta S \rightarrow 0} \frac{\Delta M}{\Delta S}$

A espessura de uma lâmina curva é desprezável.

no qual  $\Delta M$  e  $\Delta S$  representam a área superficial de uma pequena secção de lâmina contendo o ponto  $(x, y, z)$ :

pequenas partes, e se assim, se a lâmina é subdividida em  $n$  pequenas partes, e se  $(x_k^*, y_k^*, z_k^*)$  é um ponto na parte de ordem  $k$  e  $\Delta S_k$  é a área superficial da parte de ordem  $k$ , então



de  $\delta(x, y, z) = \lim_{\Delta S \rightarrow 0} \frac{\Delta M}{\Delta S}$ , a massa  $\Delta M_k$  dessa parte pode ser aproximada como

$\Delta M_k \approx \delta(x_k^*, y_k^*, z_k^*) \Delta S_k$  e assim a massa  $M$  da lâmina inteira pode ser aproximada

como  $M = \sum_{k=1}^n \Delta M_k \approx \sum_{k=1}^n \delta(x_k^*, y_k^*, z_k^*) \Delta S_k$ . Se agora aumentarmos  $n$  de tal modo que

as dimensões das partes se aproximem de zero, o valor exacto de  $M$  será dado pelo integral de superfície  $M = \iint_{\sigma} \delta(x, y, z) dS$ .

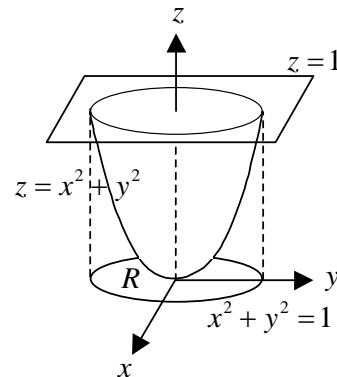
**Exemplo** – Uma lâmina curva  $\sigma$  é a porção do parabolóide  $z = x^2 + y^2$  abaixo do plano  $z = 1$  e tem densidade constante  $\delta(x, y, z) = \delta_0$ . Encontre a massa da lâmina.

Uma vez que  $z = g(x, y) = x^2 + y^2$ , segue-se que

$\frac{\partial z}{\partial x} = 2x$  e  $\frac{\partial z}{\partial y} = 2y$ . Substituindo estas expressões e

$\delta(x, y, z) = \delta(x, y, g(x, y)) = \delta_0$  em  $M = \iint_{\sigma} \delta(x, y, z) dS$

vem  $M = \iint_{\sigma} \delta_0 dS = \iint_R \delta_0 \sqrt{(2x)^2 + (2y)^2 + 1} dA = \delta_0 \times$



$\times \iint_R \sqrt{4x^2 + 4y^2 + 1} dA$  onde  $R$  é a região circular fechada por  $x^2 + y^2 = 1$ . Para

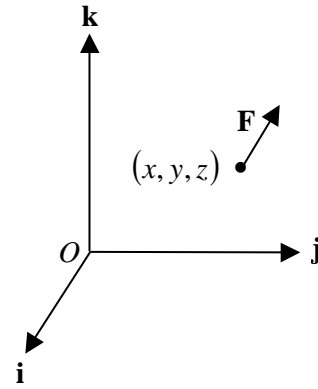
calcular o integral usamos coordenadas polares:  $M = \delta_0 \int_0^{2\pi} \int_0^1 \sqrt{4r^2 + 1} r dr d\theta = \frac{\delta_0}{12} \times$

$$\times \int_0^{2\pi} (4r^2 + 1)^{3/2} \Big|_{r=0}^1 d\theta = \frac{\delta_0}{12} \int_0^{2\pi} (5^{3/2} - 1) d\theta = \frac{\pi\delta_0}{6} (5\sqrt{5} - 1).$$

**Fluxo de Um Campo Vectorial Através de Uma Superfície.**

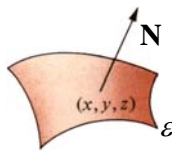
Analogamente a um campo escalar, que determina um escalar para cada ponto numa região tridimensional  $S$ , um *campo vectorial* associa um vector  $\mathbf{F} = M(x, y, z)\mathbf{i} + N(x, y, z)\mathbf{j} + P(x, y, z)\mathbf{k}$  para cada ponto  $(x, y, z)$  em  $S$ :

Como o ponto  $(x, y, z)$  se desloca sobre  $S$ , o vector correspondente  $\mathbf{F}$  pode variar, tanto em módulo quanto em direcção. Por exemplo, se um fluido se move através de uma região tridimensional  $S$ , o vector  $\mathbf{F}$  pode representar a velocidade de uma partícula do fluido no ponto  $(x, y, z)$ . No que se segue, habitualmente supomos que as funções componentes escalares  $M$ ,  $N$  e  $P$  do



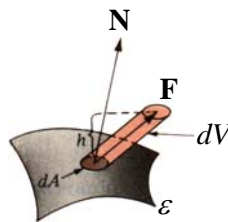
campo vectorial  $\mathbf{F}$  são continuamente diferenciáveis. Agora, suponha-se que  $\varepsilon$  é uma superfície no espaço  $xyz$  e que  $\mathbf{N}$  denota um vector unitário normal a  $\varepsilon$  no ponto  $(x, y, z)$ :

Supomos que, como o ponto  $(x, y, z)$  se desloca sobre a superfície  $\varepsilon$ , o vector unitário normal  $\mathbf{N}$  varia de modo contínuo. Suponha que  $\varepsilon$  está contida numa região tridimensional  $S$ , na



qual o campo vectorial  $\mathbf{F}$  está definido. Para uma melhor precisão, visualizamos  $\mathbf{F}$  como o campo velocidade de um fluido que se move. Considere-se uma região infinitesimal de área  $dA$  num ponto sobre a superfície  $\varepsilon$  e seja  $\mathbf{N}$  o vector unitário normal à superfície neste ponto:

o fluido que passou através de infinitesimal de altura  $h = \mathbf{F} \cdot \mathbf{N} = \mathbf{F} \cdot \mathbf{N} dA$ .



O volume infinitesimal  $dV$  de

. Após uma unidade de tempo,  $dA$  forma um sólido cilíndrico e com volume  $dV = h dA =$  fluido deslocado através da

região infinitesimal  $dA$  em unidades de tempo é chamado de *fluxo* através de  $dA$ . Integrando  $dV$  sobre a superfície total  $\varepsilon$  obtemos o volume total de fluido deslocado através de  $\varepsilon$  na unidade de tempo; logo, definimos o *fluxo do campo vectorial  $\mathbf{F}$  através da superfície  $\varepsilon$*  como sendo o integral de superfície  $\iint_{\varepsilon} dV = \iint_{\varepsilon} \mathbf{F} \cdot \mathbf{N} dA$ .

Outras maneiras de representar o mesmo integral são  $\iint_S \mathbf{F} \cdot \mathbf{n} dA$  ou ainda  $\iint_{\sigma} \mathbf{F} \cdot \mathbf{n} dS$ .

Exemplo – Seja  $\varepsilon$  a porção do plano  $z = x + 2y + 1$  que está compreendida acima da região  $D: 0 \leq x \leq 1, 0 \leq y \leq 2$  no plano  $xy$ . Calcule o fluxo do campo vectorial  $\mathbf{F} = x^3\mathbf{i} + xy\mathbf{j} + z\mathbf{k}$  através da superfície  $\varepsilon$  na direcção da normal  $\mathbf{N}$ , que faz um ângulo agudo com o eixo  $z$ .

Escrevendo a equação do plano na forma  $x + 2y - z + 1 = 0$ , encontramos que o vector  $\mathbf{N}_1 = \mathbf{i} + 2\mathbf{j} - \mathbf{k}$  é normal ao plano. Logo, o vector  $\mathbf{N}_2 = -\mathbf{N}_1 = -\mathbf{i} - 2\mathbf{j} + \mathbf{k}$ . Visto que  $\mathbf{N}_2$  tem uma componente  $\mathbf{k}$  positiva, segue-se que  $\mathbf{N}_2$  faz um ângulo agudo com o eixo  $z$  positivo. Normalizando  $\mathbf{N}_2$ , obtemos o vector unitário normal desejado

$$\mathbf{N} = \frac{\mathbf{N}_2}{|\mathbf{N}_2|} = \frac{-\mathbf{i} - 2\mathbf{j} + \mathbf{k}}{\sqrt{(-1)^2 + (-2)^2 + 1^2}} = \frac{-\mathbf{i} - 2\mathbf{j} + \mathbf{k}}{\sqrt{6}}. \text{ Logo, } \mathbf{F} \cdot \mathbf{N} = \frac{-x^3 - 2xy + z}{\sqrt{6}}; \text{ assim, o}$$

$$\text{fluxo através de } \varepsilon \text{ é dado por } \iint_{\varepsilon} \mathbf{F} \cdot \mathbf{N} dA = \iint_{\varepsilon} \frac{-x^3 - 2xy + z}{\sqrt{6}} dA = \iint_D \frac{-x^3 - 2xy + z}{\sqrt{6}} \times$$

$$\times \sqrt{1 + \left(\frac{\partial z}{\partial x}\right)^2 + \left(\frac{\partial z}{\partial y}\right)^2} dx dy, \iint_{\varepsilon} \mathbf{F} \cdot \mathbf{N} dA = \iint_D \frac{-x^3 - 2xy + x + 2y + 1}{\sqrt{6}} \sqrt{1 + (1)^2 + (2)^2} dx dy =$$

$$\int_0^2 \int_0^1 (-x^3 - 2xy + x + 2y + 1) dx dy = \int_0^2 \left[ \left( \frac{-x^4}{4} - x^2 y + \frac{x^2}{2} + 2xy + x \right) \Big|_0^1 \right] dy = \int_0^2 \left( y + \frac{5}{4} \right) dy =$$

$$= \left( \frac{y^2}{2} + \frac{5}{4} y \right) \Big|_0^2 = \frac{9}{2}.$$

Para calcular o fluxo de  $\mathbf{F}$  através de uma superfície orientada  $\sigma$ , é primeiro necessário encontrar uma fórmula para o vector normal  $\mathbf{n}(x, y, z)$  que aparece a ser integrado. Tais fórmulas dependem da forma em como a superfície  $\sigma$  é expressa. A

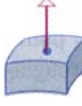
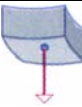
Tabela seguinte apresenta as duas orientações possíveis e as fórmulas para  $\mathbf{n}$  (ou  $\mathbf{N}$ ) =  $\mathbf{n}(x, y, z)$  para superfícies da forma  $z = g(x, y)$ ,  $y = g(x, z)$  e  $x = g(y, z)$ . As fórmulas da Tabela podem ser deduzidas considerando que as superfícies  $z = g(x, y)$ ,  $y = g(x, z)$  e  $x = g(y, z)$  podem ser expressas na forma  $G(x, y, z) = 0$ , deslocando a função  $g$  para o lado esquerdo da equação. Nos três casos, a superfície  $\sigma$  é uma superfície de nível para  $G(x, y, z)$ , segue-se que  $\nabla G$ , *gradiente*, é normal a  $\sigma$  em  $(x, y, z)$  e portanto  $\frac{\nabla G}{|\nabla G|}$  e  $-\frac{\nabla G}{|\nabla G|}$  são vectores unitários normais a  $\sigma$  em  $(x, y, z)$ .

Estes são os vectores que aparecem na Tabela. Por exemplo, se  $z = g(x, y)$  então

$$G(x, y, z) = z - g(x, y) \text{ e então } \nabla G = -\frac{\partial g}{\partial x} \mathbf{i} - \frac{\partial g}{\partial y} \mathbf{j} + \mathbf{k} = -\frac{\partial z}{\partial x} \mathbf{i} - \frac{\partial z}{\partial y} \mathbf{j} + \mathbf{k} \text{ assim } \frac{\nabla G}{|\nabla G|} = \frac{-\frac{\partial z}{\partial x} \mathbf{i} - \frac{\partial z}{\partial y} \mathbf{j} + \mathbf{k}}{\sqrt{\left(\frac{\partial z}{\partial x}\right)^2 + \left(\frac{\partial z}{\partial y}\right)^2 + 1}} \text{ que é a normal para a orientação positiva de } z = g(x, y)$$

mostrada na Tabela. Multiplicando por  $-1$  produz-se a orientação negativa.

Tabela

$z = g(x, y)$	$y = g(x, z)$	$x = g(y, z)$
 <p>Componente <math>\mathbf{k}</math> positiva</p> $\Rightarrow \mathbf{n} = \frac{-\frac{\partial z}{\partial x} \mathbf{i} - \frac{\partial z}{\partial y} \mathbf{j} + \mathbf{k}}{\sqrt{\left(\frac{\partial z}{\partial x}\right)^2 + \left(\frac{\partial z}{\partial y}\right)^2 + 1}}$ <p>Orientação positiva (para cima)</p>	 <p>Componente <math>\mathbf{j}</math> positiva</p> $\Rightarrow \mathbf{n} = \frac{-\frac{\partial y}{\partial x} \mathbf{i} + \mathbf{j} - \frac{\partial y}{\partial z} \mathbf{k}}{\sqrt{\left(\frac{\partial y}{\partial x}\right)^2 + \left(\frac{\partial y}{\partial z}\right)^2 + 1}}$ <p>Orientação positiva (para cima)</p>	 <p>Componente <math>\mathbf{i}</math> positiva</p> $\Rightarrow \mathbf{n} = \frac{\mathbf{i} - \frac{\partial x}{\partial y} \mathbf{j} - \frac{\partial x}{\partial z} \mathbf{k}}{\sqrt{\left(\frac{\partial x}{\partial y}\right)^2 + \left(\frac{\partial x}{\partial z}\right)^2 + 1}}$ <p>Orientação positiva (para cima)</p>
 <p>Componente <math>\mathbf{k}</math> negativa</p> $\Rightarrow \mathbf{n} = \frac{\frac{\partial z}{\partial x} \mathbf{i} + \frac{\partial z}{\partial y} \mathbf{j} - \mathbf{k}}{\sqrt{\left(\frac{\partial z}{\partial x}\right)^2 + \left(\frac{\partial z}{\partial y}\right)^2 + 1}}$ <p>Orientação positiva (para baixo)</p>	 <p>Componente <math>\mathbf{j}</math> negativa</p> $\Rightarrow \mathbf{n} = \frac{\frac{\partial y}{\partial x} \mathbf{i} - \mathbf{j} + \frac{\partial y}{\partial z} \mathbf{k}}{\sqrt{\left(\frac{\partial y}{\partial x}\right)^2 + \left(\frac{\partial y}{\partial z}\right)^2 + 1}}$ <p>Orientação positiva (para baixo)</p>	 <p>Componente <math>\mathbf{i}</math> negativa</p> $\Rightarrow \mathbf{n} = \frac{-\mathbf{i} + \frac{\partial x}{\partial y} \mathbf{j} + \frac{\partial x}{\partial z} \mathbf{k}}{\sqrt{\left(\frac{\partial x}{\partial y}\right)^2 + \left(\frac{\partial x}{\partial z}\right)^2 + 1}}$ <p>Orientação positiva (para baixo)</p>